

Eletromagnetismo

Orientador: *Yuri Dumaresq Sobral*

Ataias Pereira Reis

1 Equações Básicas

O campo magnético satisfaz $\mathbf{B} = \mu_0(\mathbf{M} + \mathbf{H})$. Seu divergente é nulo - $\nabla \cdot \mathbf{B} = 0$ -, indicação de que o campo é solenoidal, isto é: todas as linhas de campo magnético que saem da superfície têm de retornar a ela. Consequência dessas duas equações é

$$\nabla \cdot \mathbf{M} = -\nabla \cdot \mathbf{H} \quad (1)$$

Um pressuposto para nosso estudo atual é que trabalhos no regime magnetostático, o que rege $\nabla \times \mathbf{H} = \mathbf{0}$. Lembre-se que \mathbf{H} é o fluxo elétrico; como este campo é irrotacional, temos que \mathbf{H} é um campo potencial:

$$\mathbf{H} = -\nabla \phi \quad (2)$$

De porte das Equações 1 e 2, obtém-se a equação de Poisson para a função potencial ϕ - apresentada na Equação 3. Observação: uma malha quadrada 1×1 será considerada para solução numérica.

$$\nabla^2 \phi = \nabla \cdot \mathbf{M} \quad (3)$$

Equação da Função Potencial

2 Condições de Contorno

Ora, não se pode resolver uma equação de Poisson sem condições de contorno. Com este intuito, lembremos que a componente normal de \mathbf{B} deve ser contínua através da interface entre o meio de fora - considere meio 1, ar - e o de dentro - considere meio 2, fluido magnético -, isto é: $(\mathbf{B}_f - \mathbf{B}_d) \cdot \mathbf{n} = 0$. Com a ajuda da equação do campo magnético, obtém-se $\mu_0(H_f^n + M_f^n) = \mu_0(H_d^n + M_d^n)$. No meio 1, não magnetizável, M_f é nulo; utilizando a Equação 2, obtém-se as condições de contorno para nossa função potencial:

$$\nabla \phi_d^n = -H_f^n + M_d^n \quad (4)$$

Desenvolvendo a equação acima e utilizando os índices da malha escalonada - índices que variam entre 1 e n na malha -, tem-se:

$$\left. \frac{\partial \phi}{\partial x} \right|_{\text{left}} \approx -H_{2,j}^x + M_{2,j}^x \quad (5)$$

$$\left. \frac{\partial \phi}{\partial x} \right|_{\text{right}} \approx -H_{n,j}^x + M_{n,j}^x \quad (6)$$

$$\left. \frac{\partial \phi}{\partial y} \right|_{\text{lower}} \approx -H_{i,2}^y + M_{i,2}^y \quad (7)$$

$$\left. \frac{\partial \phi}{\partial y} \right|_{\text{upper}} \approx -H_{i,n}^y + M_{i,n}^y \quad (8)$$

3 Problemas exemplo

Nesta seção, temos um campo magnético aplicado \mathbf{H} e assume-se uma magnetização \mathbf{M} do material dentro da cavidade para cada caso. Um detalhe importante é que a escolha de \mathbf{H} e \mathbf{M} não é arbitrária: é necessário que se satisfaça $\nabla \cdot \mathbf{B} = 0$.

Foi utilizada uma malha 20×20 e o valor máximo do divergente e do rotacional foi calculado.

3.1 $\mathbf{M} = \mathbf{0}$ e $H_x = 1$

Veja Figuras 1, 2 e 3. Para este caso, tem-se: $\max \frac{1}{\mu_0} \nabla \cdot \mathbf{B} = 7.19 \cdot 10^{-13}$ e $\max \nabla \times \mathbf{H} = 1.97 \cdot 10^{-13}$

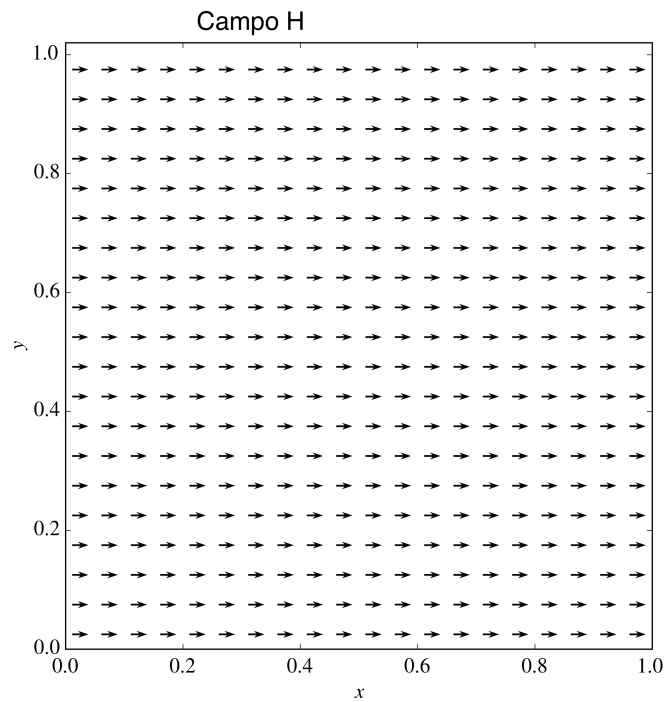


Figura 1: Campo vetorial \mathbf{H} dentro da cavidade

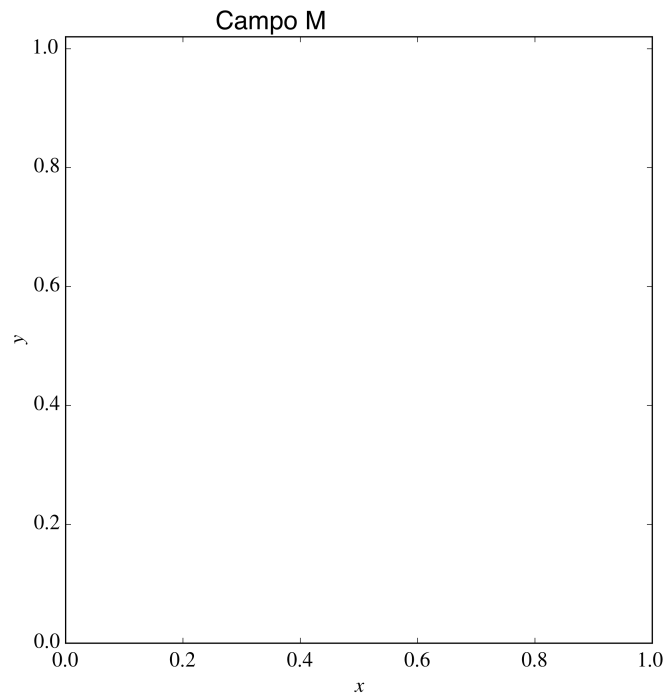


Figura 2: Campo vetorial \mathbf{M} dentro da cavidade

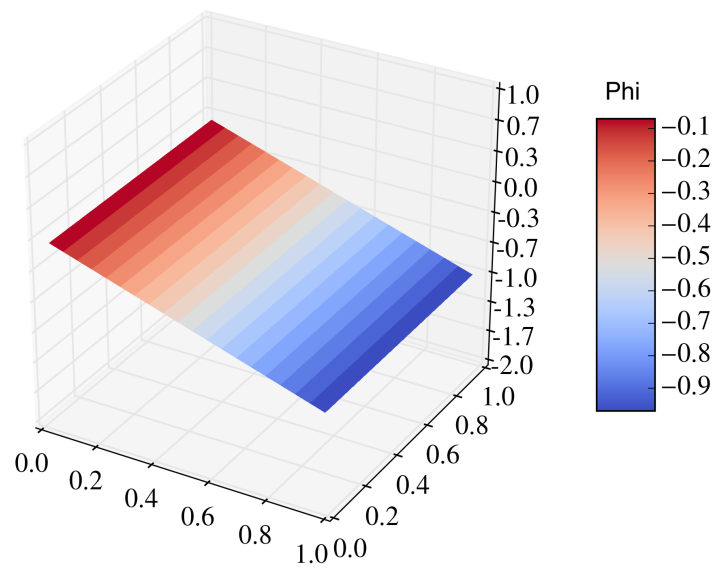


Figura 3: Função potencial ϕ

3.2 $M_x = 0.1$ e $H_x = 1$

Veja Figuras 4, 5 e 6. Para este caso, tem-se: $\max \frac{1}{\mu_0} \nabla \cdot \mathbf{B} = 6.62 \cdot 10^{-13}$ e $\max \nabla \times \mathbf{H} = 1.78 \cdot 10^{-13}$

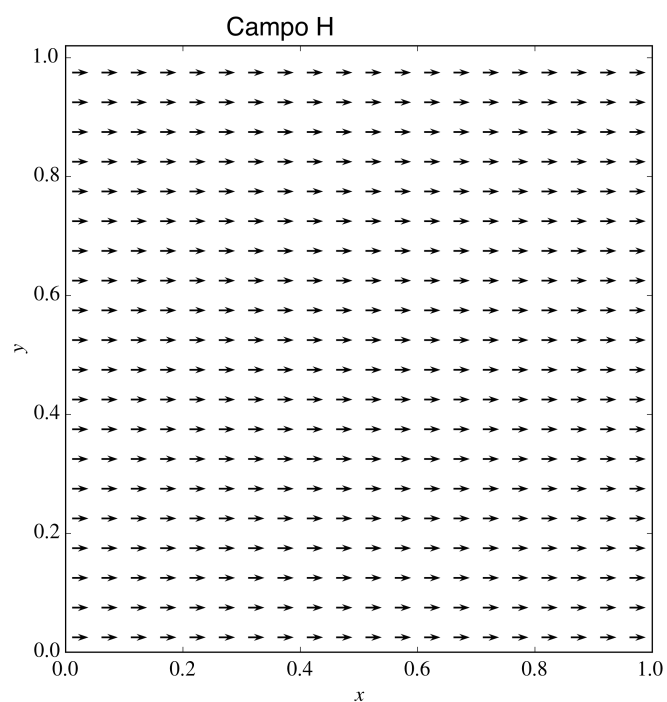


Figura 4: Campo vetorial \mathbf{H} dentro da cavidade

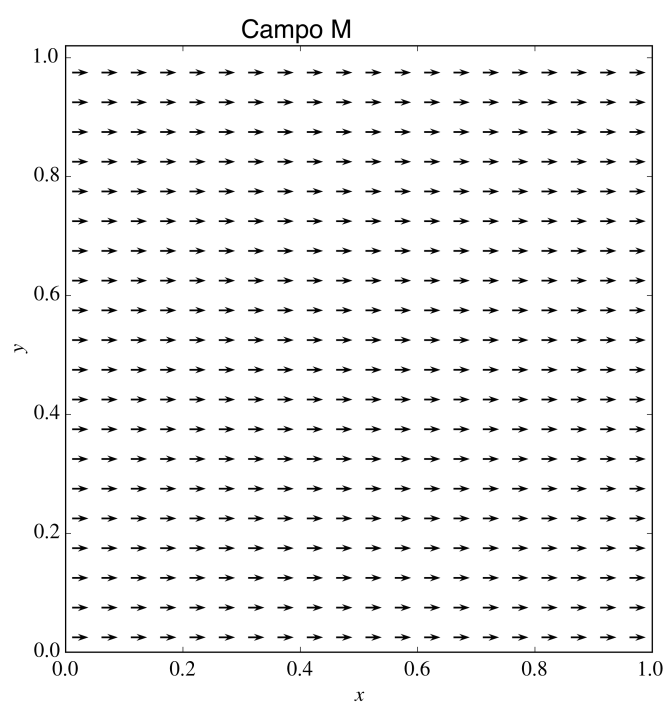
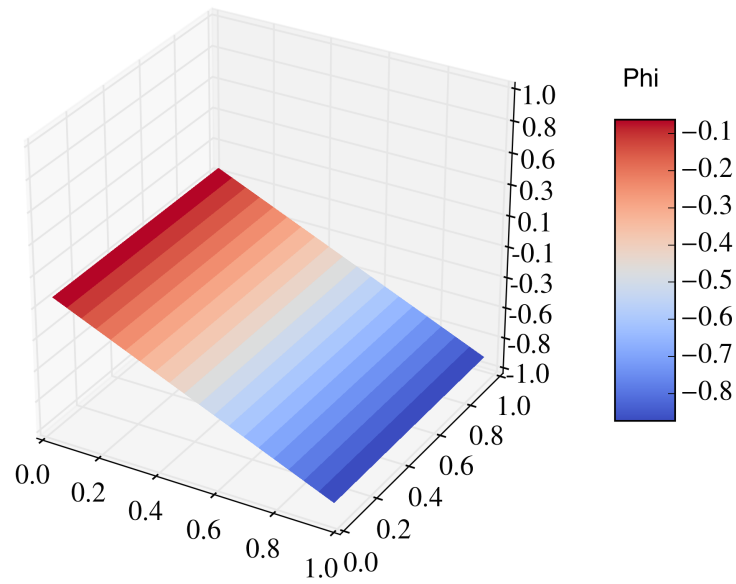
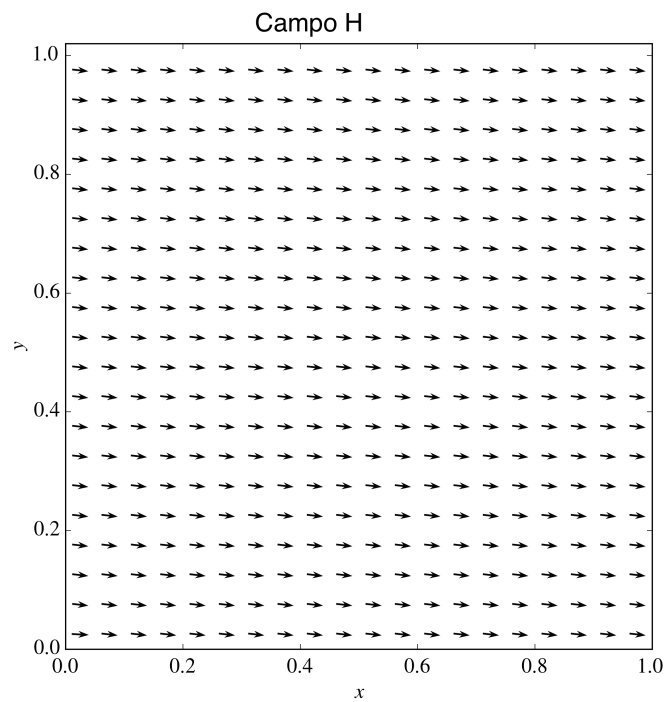


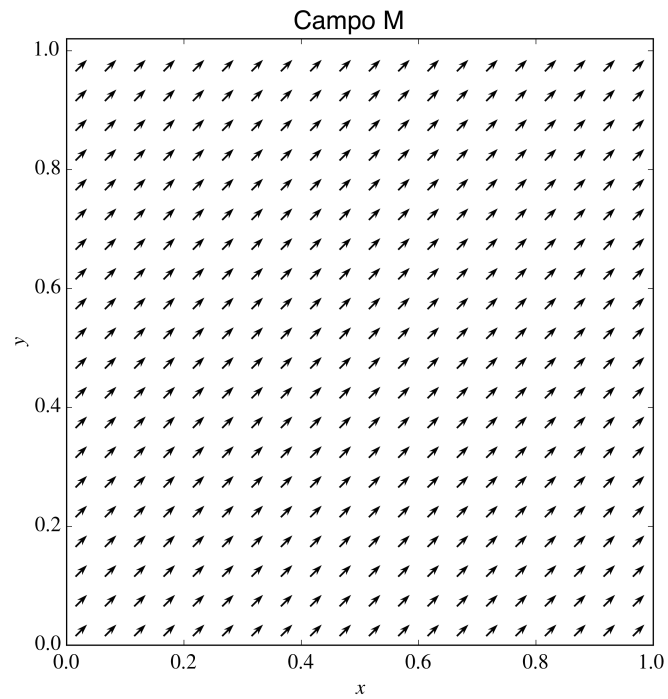
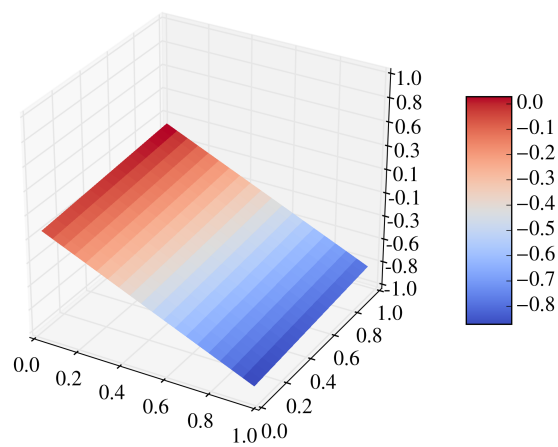
Figura 5: Campo vetorial \mathbf{M} dentro da cavidade

Figura 6: Função potencial ϕ

3.3 $\mathbf{M} = 0.1(\mathbf{i} + \mathbf{j})$ e $H_x = 1$

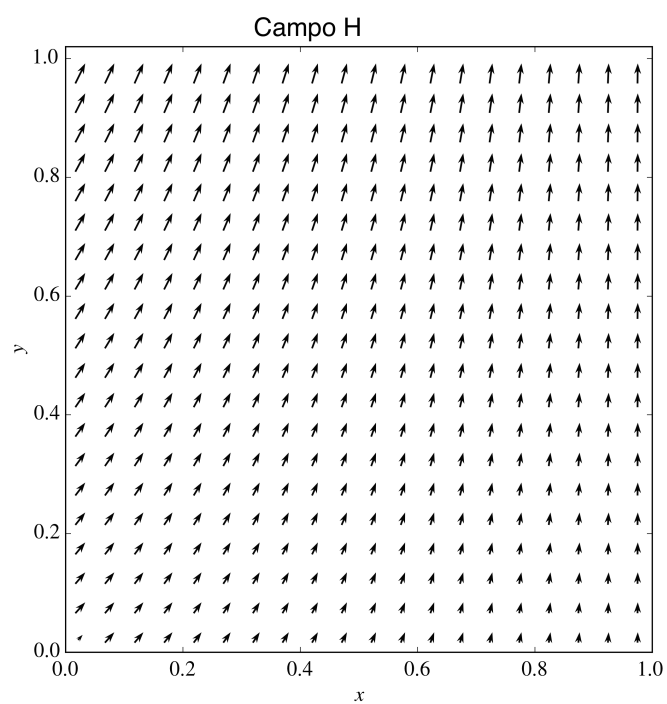
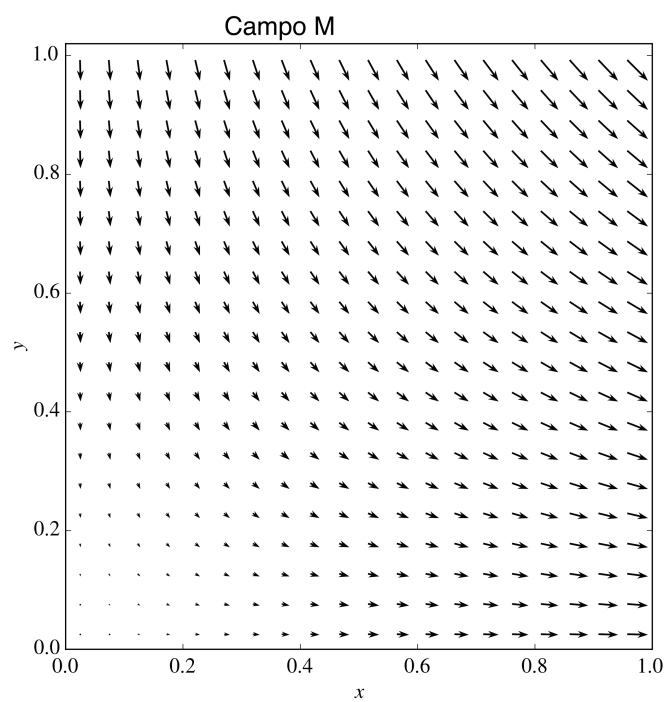
Veja Figuras 7, 8 e 9. Para este caso, tem-se: $\max \frac{1}{\mu_0} \nabla \cdot \mathbf{B} = 5.59 \cdot 10^{-13}$ e $\max \nabla \times \mathbf{H} = 1.51 \cdot 10^{-13}$

Figura 7: Campo vetorial \mathbf{H} dentro da cavidade

Figura 8: Campo vetorial \mathbf{M} dentro da cavidadeFigura 9: Função potencial ϕ

3.4 $\mathbf{M} = x\mathbf{i} - y\mathbf{j}$ e $\mathbf{H} = \mathbf{i} + \mathbf{j}$

Veja Figuras 10, 11 e 12. Para este caso, tem-se: $\max \frac{1}{\mu_0} \nabla \cdot \mathbf{B} = 1.82 \cdot 10^{-12}$ e $\max \nabla \times \mathbf{H} = 4.95 \cdot 10^{-13}$

Figura 10: Campo vetorial \mathbf{H} dentro da cavidadeFigura 11: Campo vetorial \mathbf{M} dentro da cavidade

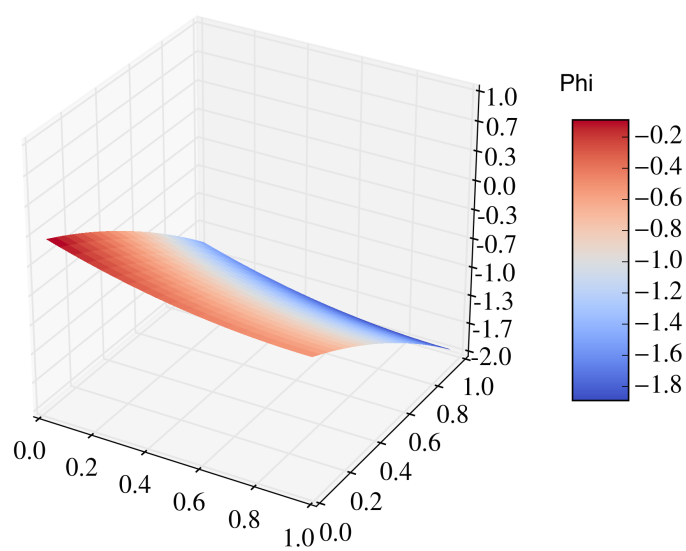


Figura 12: Função potencial ϕ